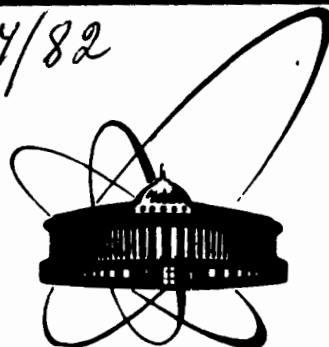


30/IX-82

4464/82



ОБЪЕДИНЕННЫЙ  
ИНСТИТУТ  
ЯДЕРНЫХ  
ИССЛЕДОВАНИЙ  
ДУБНА

P3-82-436

В.Г.Николенко, А.Б.Попов, Г.С.Самосват

ДИФФЕРЕНЦИАЛЬНЫЕ НЕЙТРОННЫЕ СЕЧЕНИЯ  
РАССЕЯНИЯ И СРЕДНИЕ НЕЙТРОННЫЕ  
ПАРАМЕТРЫ ИЗОТОПОВ ОЛОВА

Направлено на Международную конференцию  
"Ядерные данные для науки и техники",  
6-10 сентября 1982 г., Антверпен, Бельгия

1982

Еще в 1964 г. из дифференциального сечения рассеяния нейтронов  $\sigma(\Theta)$  предлагалось извлекать  $s$ - и  $p$ -средние нейтронные параметры. Настоящая работа является, по-видимому, первой попыткой получить  $S^0$ ,  $S_{1/2}^1$ ,  $S_{3/2}^1$ ,  $R_0$  и  $R_1$  из измерения  $\sigma(\Theta)$ .

С помощью аппаратуры, кратко описанной в /2/, на пролетной базе 250 м импульсного реактора ИБР-30 измерены интенсивности рассеянных образцами олова нейтронов при углах  $45^\circ$ ,  $90^\circ$  и  $135^\circ$ . В качестве образцов использовалось металлическое олово с обогащением по основному изотопу 97-98%, вес образцов был от 120 до 250 г. Измерения проводились как в реакторном /разрешение  $\sim 0,35$  мкс/м/, так и в бустерном /разрешение  $\sim 25$  нс/м/ режимах. В результате обработки экспериментальных спектров с образцом и без образца, измеренных при трех указанных углах, определены параметры дифференциального сечения рассеяния, которое описывалось формулой

$$\sigma(\Theta) = \frac{\sigma_s}{4\pi} [1 + \omega_1 P_1 (\cos \Theta) + \omega_2 P_2 (\cos \Theta)].$$

Параметры сечения  $\sigma_s$ ,  $\omega_1$  и  $\omega_2$  были вычислены для 11 энергетических интервалов в области до 60 кэВ для реакторных данных и для 18 интервалов в области до 200 кэВ в случае бустерных измерений. Для абсолютизации  $\sigma_s$  использовались калибровочные измерения с образцом углерода.

Предполагая, что в исследованной энергетической области рассеяние на изотопах олова происходит только для  $s$ - и  $p$ -волновых нейтронов и усредняя по резонансам выражение для дифференциального сечения, приведенное в работе /3/, можно получить для четно-четных мишеней следующие выражения для  $\sigma_s$ ,  $\omega_1$  и  $\omega_2$ :

$$\sigma_s = 4\pi B_0, \quad \omega_1 = B_1/B_0, \quad \omega_2 = B_2/B_0, \quad /1/$$

$$B_0 = \frac{1}{k^2} \{ \sin^2 \delta_0 + 3 \sin^2 \delta_1 + \pi \sqrt{E} \left[ \frac{1}{2} S^0 F_0 + \frac{1}{2} (S_{1/2}^1 F_{1/2} + 2S_{3/2}^1 F_{3/2}) v - \right. \\ \left. - \sin^2 \delta_0 \cdot S^0 - \sin^2 \delta_1 (S_{1/2}^1 + 2S_{3/2}^1) v \right] \}, \quad /2/$$

$$B_1 = \frac{1}{k^2} \{ 6 \sin \delta_0 \sin \delta_1 \cos(\delta_0 - \delta_1) - \pi \sqrt{E} [3 \sin \delta_1 \sin(2\delta_0 - \delta_1) S^0 + \\ + \sin \delta_0 \sin(2\delta_1 - \delta_0) (S_{1/2}^1 + 2S_{3/2}^1) v] \}, \quad /3/$$

$$B_2 = \frac{2}{k^2} \{ 3 \sin^2 \delta_1 + \pi \sqrt{E} v [ \frac{1}{2} S_{3/2}^1 F_{3/2} - \sin^2 \delta_1 (S_{1/2}^1 + 2S_{3/2}^1) ] \}. / 4 /$$

При этом мы полагали, что

$$\delta_0 = -kR + \operatorname{arctg}(kR R_0^\infty), \quad / 5 /$$

$$\delta_1 = -kR + \operatorname{arctg}(kR) + \operatorname{arctg} \left[ \frac{(kR)^2 R_1^\infty}{1 + (kR)^2 + R_1^\infty} \right]. \quad / 6 /$$

В формулах / 1 / ÷ / 6 / использованы общепринятые обозначения, кроме того,

$$v = \frac{(kR)^2}{1 + (kR)^2} \quad / 7 /$$

/ мы принимали  $R = 1,4 \text{ A}^{1/3}$  в ферми / ,

$$F_\mu = \frac{1}{\sqrt{2\pi}} \int_0^\infty \frac{x\sqrt{x}}{x + a_\mu} e^{-x/2} dx, \quad / 8 /$$

множитель, учитывающий при усреднении вклада резонансов распределение ширин, здесь

$$a_0 = \frac{S_y^0}{S_y^0 \sqrt{E}}, \quad a_{1/2} = \frac{S_y^1}{3S_{1/2}^1 \sqrt{E}}, \quad a_{3/2} = \frac{2S_y^1}{3S_{3/2}^1 \sqrt{E}}, \quad / 9 /$$

$S_y^0$  –  $s$ -нейтронная силовая функция,  $S_{1/2}^1$  и  $S_{3/2}^1$  –  $p$ -нейтронные силовые функции для резонансов со спинами  $1/2$  и  $3/2$ ,  $S_y^0$  и  $S_y^1$  –  $s$ - и  $p$ -радиационные силовые функции.

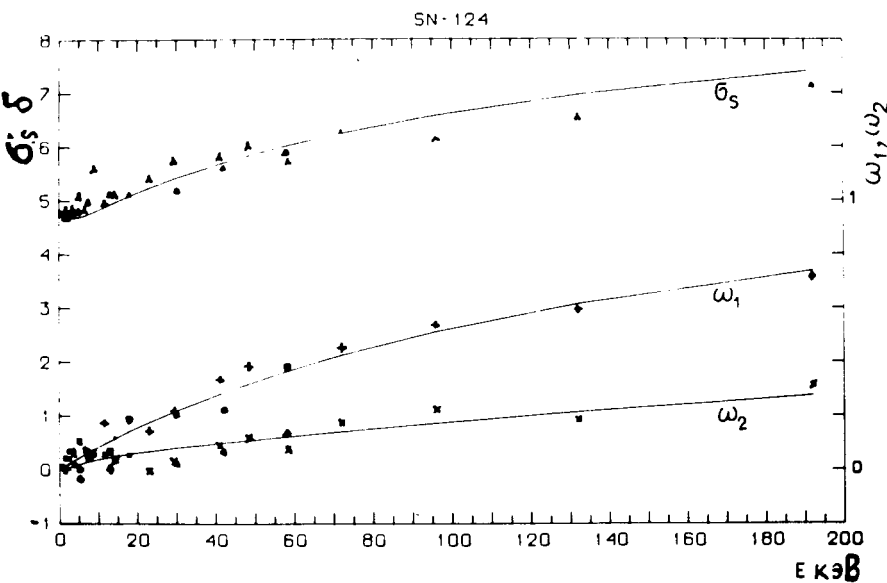
Формулы / 1 / ÷ / 9 / позволили провести анализ полученных нами экспериментальных значений  $\sigma_s(E)$ ,  $\omega_1(E)$  и  $\omega_2(E)$  с целью определения параметров  $S^0$ ,  $S_{1/2}^1$ ,  $S_{3/2}^1$ ,  $R_0^\infty$  и  $R_1^\infty$ . При анализе использовалась программа метода наименьших квадратов FUMILI / 4 /. Значения  $\omega_1$  и  $\omega_2$  пересчитывались из лабораторной системы в систему центра масс. В таблице приведены полученные результаты. Приводимые там / в ферми / значения  $R'_0 = R(1 - R_0^\infty)$ .

а  $R'_1$  определено следующим образом / 5 / :  $R'_1 = R(1 - \frac{3R_1^\infty}{1 + R_1^\infty})$ .

При расчетах значения  $S_y^0$  и  $S_y^1$  фиксировались и варьировались в пределах от  $0,5 \cdot 10^{-4}$  до  $10 \cdot 10^{-4}$ . Такие вариации  $S_y^0$  и  $S_y^1$  не сказывались на значениях и ошибках искомых параметров. На рисунке в качестве примера показаны результаты для  $^{124}\text{Sn}$ , точки

Таблица

Изотоп	$\chi^2/m-n$	$S^0$	$S_{1/2}^1$	$S_{3/2}^1$	$R_0^\infty/R'_0$	$R_1^\infty/R'_1$
$^{116}\text{Sn}$	1,8	$0,18 \pm 0,04$	$7,0 \pm 1,3$	$2,14 \pm 0,15$	$0,17 \pm 0,03$ $5,67 \pm 0,20$	$-0,16 \pm 0,02$ $10,8 \pm 0,6$
$^{118}\text{Sn}$	2,1	$0,16 \pm 0,05$	$5,7 \pm 1,7$	$1,96 \pm 0,22$	$0,20 \pm 0,04$ $5,50 \pm 0,27$	$-0,18 \pm 0,03$ $11,4 \pm 0,9$
$^{120}\text{Sn}$	1,6	$0,06 \pm 0,04$	$2,4 \pm 1,5$	$2,02 \pm 0,18$	$0,12 \pm 0,04$ $6,07 \pm 0,27$	$-0,14 \pm 0,02$ $10,4 \pm 0,4$
$^{122}\text{Sn}$	2,0	$0,17 \pm 0,05$	$4,9 \pm 1,5$	$2,07 \pm 0,21$	$0,20 \pm 0,04$ $5,55 \pm 0,21$	$-0,19 \pm 0,02$ $12,0 \pm 0,8$
$^{124}\text{Sn}$	1,7	$0,19 \pm 0,03$	$10,5 \pm 1,0$	$1,35 \pm 0,18$	$0,29 \pm 0,03$ $5,0 \pm 0,3$	$-0,23 \pm 0,02$ $13,4 \pm 0,9$



Точки – экспериментальные данные, ошибки в области выше 70 кэВ составляли: для  $\omega_1 \sim 2-5\%$ , для  $\omega_2 \sim 6-15\%$ , для  $\sigma_s \sim 5\%$ . Сплошные линии – расчетные  $\omega_1$ ,  $\omega_2$ ,  $\sigma_s$ , соответствующие приведенным в таблице параметрам.

экспериментальные данные, сплошные линии - расчетные  $\sigma_8$ ,  $\omega_1$  и  $\omega_2$ , соответствующие приведенным в таблице параметрам.  
Ошибки указанные в таблице, - статистические, даваемые программой FTUMILI, исправленные на фактор  $(\frac{\chi^2}{n-p})^{1/2}$  -

число параметров,  $n$  - число точек/. Наши значения  $S_0^0$  в пределах ошибок согласуются с данными из /<sup>6</sup>/, значения  $R_0^\infty$  также не противоречат приведенным в /<sup>6</sup>/ оценкам  $R_0'$ , полученным для низкоэнергетической области. Что касается  $S_{1/2}^1$ ,  $S_{3/2}^1$  и  $R_1^\infty$ , то эти параметры получены впервые.

Заметим, что проводившиеся варианты расчетов с фиксированными значениями  $R_0'$  в интервале  $0,08 \pm 0,16$  обнаружили скоррелированные изменения  $S_0^0$  и  $S_{1/2}^1$ , выходящие за пределы ошибок, без существенного ухудшения  $\chi^2$ . Значения  $S_{3/2}^1$  и  $R_1^\infty$  при этом оставались устойчивыми.

Авторы признательны За Ин Ок за помощь в оформлении рукописи.

#### ЛИТЕРАТУРА

- Попов Ю.П., Фенин Ю.И. Материалы рабочего совещания по взаимодействию нейтронов с ядрами. ОИЯИ, 1845, Дубна, 1964, с.89.
- Николенко В.Г., Самосват Г.С. ЯФ, 1976, 23, с.1159.
- Blatt J.M., Biedenharn L.C. Rev.Mod.Phys., 1952, 24, p.258.
- Силин И.Н. В кн.: Статистические методы в экспериментальной физике, М., Атомиздат, 1976, с.319.
- Александров Ю.А. и др. Материалы 5-й Всесоюзной конференции по нейтронной физике, Киев, 15-19 сентября 1980 г. ЦНИИатоминформ, М., 1980, ч.2, с.163.
- Mughabghab S.F., Devadeenam M., Holden N.E. Neutron Cross Section, Academic Press, 1981, vol. 1, part A.

Рукопись поступила в издательский отдел  
10 июня 1982 года.

Николенко В.Г., Попов А.Б., Самосват Г.С.  
Дифференциальные нейтронные сечения рассеяния  
и средние нейтронные параметры изотопов олова

P3-82-436

На импульсном реакторе ИБР-30 измерены угловые распределения упруго рассеянных нейтронов на изотопах олова в интервале 1-200 кэВ. Дифференциальное сечение рассеяния описывалось формулой

$$\sigma(\Theta) = \frac{\sigma_8}{4\pi} [1 + \omega_1 P_1(\cos\Theta) + \omega_2 P_2(\cos\Theta)].$$

Полученные параметры сечения  $\sigma_8(E)$ ,  $\omega_1(E)$ ,  $\omega_2(E)$  использованы для определения  $S_0^0$ ,  $S_{1/2}^1$ ,  $S_{3/2}^1$ ,  $R_0^\infty$  и  $R_1^\infty$  - силовых функций и радиусов четно-четных изотопов олова.

Работа выполнена в Лаборатории нейтронной физики ОИЯИ.

Препринт Объединенного института ядерных исследований. Дубна 1982

Nikolenko V.G., Popov A.B., Samosvat G.S.  
Differential Neutron Scattering Cross Sections  
and Average Neutron Parameters of Tin Isotopes

P3-82-436

The differential cross sections of elastically scattered neutrons were measured for tin isotopes at the IBR-30 pulse reactor within the 1-200 keV energy region. The s- and p- strength functions and radii  $S_0^0$ ,  $S_{1/2}^1$ ,  $S_{3/2}^1$ ,  $R_0^\infty$  and  $R_1^\infty$  of even-even tin isotopes are obtained.

The investigation has been performed at the Laboratory of Neutron Physics, JINR.

Preprint of the Joint Institute for Nuclear Research. Dubna 1982

Перевод О.С.Виноградовой.